

**Gabarito - Listas 3 e 4**

**Lista 3 - Potenciais Termodinâmicos**

**1)** (a) CO<sub>2</sub>; (b) propano; (c) n-pentano.

**2)**  $\Delta_{vap}G(348, 15 \text{ K}) = 441 \text{ J.mol}^{-1}$ ;  $\Delta_{vap}G(353, 24 \text{ K}) = 0$ ;  $\Delta_{vap}G(358, 15 \text{ K}) = -428 \text{ J.mol}^{-1}$ .

O benzeno condensa espontaneamente a 75,0°C e evapora espontaneamente a 85,0°C.

**3)**  $\Delta_{vap}G(348, 15 \text{ K}) = 441 \text{ J.mol}^{-1}$ ;  $\Delta_{vap}G(353, 24 \text{ K}) = 0$ ;  $\Delta_{vap}G(358, 15 \text{ K}) = -429 \text{ J.mol}^{-1}$ .

Os resultados variam pouco em relação ao caso que  $\Delta_{vap}H$  e  $\Delta_{vap}S$  são constantes com a temperatura.

**4)**  $C_{p,m} - C_{V,m} = R$ .

**5)**  $(\frac{\partial H_m}{\partial P})_T = 0$ .

**6)**

| Etapa  | $q$      | $w$      | $\Delta U$ | $\Delta H$ | $\Delta S$              | $\Delta S_{viz}$        | $\Delta S_{tot}$ | $\Delta G$ |
|--------|----------|----------|------------|------------|-------------------------|-------------------------|------------------|------------|
| 1      | 11,5 kJ  | -11,5 kJ | 0          | 0          | 19,1 J.K <sup>-1</sup>  | -19,1 J.K <sup>-1</sup> | 0                | -11,5 kJ   |
| 2      | 0        | -3,74 kJ | -3,74 kJ   | -6,23 kJ   | 0                       | 0                       | 0                | ?*         |
| 3      | -5,75 kJ | 5,75 kJ  | 0          | 0          | -19,1 J.K <sup>-1</sup> | 19,1 J.K <sup>-1</sup>  | 0                | 11,5 kJ    |
| 4      | 0        | 3,74 kJ  | 3,74 kJ    | 6,23 kJ    | 0                       | 0                       | 0                | ?*         |
| Global | 5,75 kJ  | -5,75 kJ | 0          | 0          | 0                       | 0                       | 0                | 0          |

\* $\Delta G = \Delta H - S\Delta T \Rightarrow \Delta G$  é indeterminado.

**7)** Dados para o NH<sub>3</sub>:  $\Delta_fH^\circ(298 \text{ K}) = -46,11 \text{ kJ.mol}^{-1}$  e  $\Delta_fG^\circ(298 \text{ K}) = -16,45 \text{ kJ.mol}^{-1}$ ;

(a)  $\Delta_rG(500K) = 7,3 \text{ kJ.mol}^{-1}$ ; (b)  $\Delta_rG(1000K) = 107 \text{ kJ.mol}^{-1}$ .

**8)**  $\Delta S = -42,8 \text{ J.K}^{-1}$ .

**9)** Dica: Use as definições de  $A$  e de  $H$  e determine os respectivos diferenciais totais.

**10)** Dica:  $(\frac{\partial S}{\partial V})_T = (\frac{\partial P}{\partial T})_V$ .

**11)** Dica: Use a definição de  $A$  e derive  $A/T$ .

**12)** Dado:  $b = 0,065144 \text{ dm}^3.\text{mol}^{-1}$ ;  $\Delta S = R \ln \left( \frac{V_{m,2}-b}{V_{m,1}-b} \right) = -19,6 \text{ J.K}^{-1}.\text{mol}^{-1}$ . Para um gás ideal:  $\Delta S = -19,1 \text{ J.K}^{-1}.\text{mol}^{-1}$

**Lista 4 - Transformações físicas de substâncias puras e misturas**

**1)**  $\Delta\mu^\circ = -47,79 \text{ kJ mol}^{-1}$ .

2)  $\Delta_{fus}S_m = 5,52 \text{ J K}^{-1} \text{ mol}^{-1}$ ,  $\Delta_{fus}H_m = 2,36 \text{ kJ mol}^{-1}$ .

3)  $T'_{fus} = 234,4 \text{ K}$ .

4) (a)  $T_{eb} \cong 84^\circ\text{C}$ , (b)  $\Delta_{vap}H_m \cong 38,0 \text{ kJ mol}^{-1}$ .

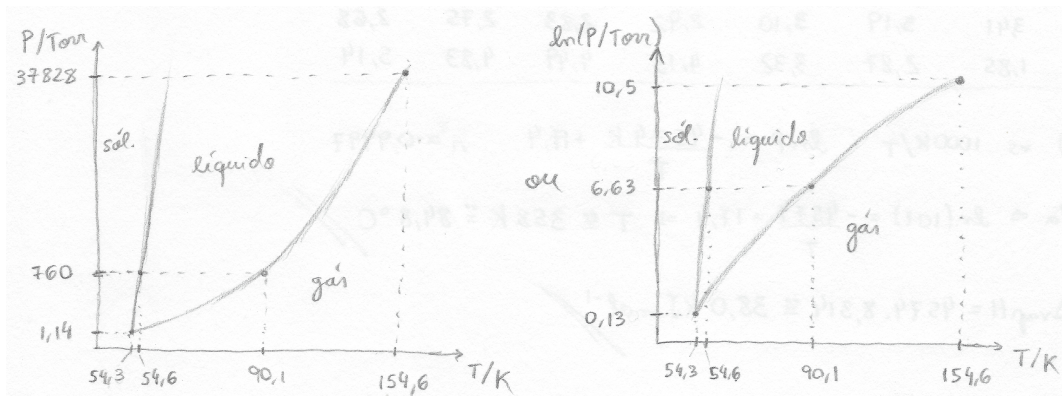
5) **Correção:** o terceiro valor de  $x_B$  é 0,020 em vez de 0,20. A regressão  $p_B$  vs.  $x_B$  é linear, então a solução obedece a lei de Henry.  $K_B \cong 8,41 \cdot 10^3 \text{ kPa}$ .

6)  $M \cong 272 \text{ g mol}^{-1}$ .

7)  $\Delta_{mis}S \cong 6,35 \cdot 10^{-2} \text{ J K}^{-1}$ ,  $\Delta_{mis}G = -17,3 \text{ J}$ .

8)  $\Delta_{mis}S \cong 11,5 \text{ J K}^{-1}$ ,  $\Delta_{mis}G = -3,43 \text{ kJ}$ ,  $\Delta_{mis}H = 0$ .

9)



10) A origem das propriedades coligativas está na redução do potencial químico da solução ao adicionar um soluto, uma vez que a fração molar do solvente diminui e há um aumento de entropia no sistema. Da mesma forma, a pressão de vapor do solvente diminui, reduzindo a tendência das moléculas escaparem da fase líquida. Consequentemente, a temperatura de fusão diminui e a de ebulação aumenta, ampliando o intervalo de temperatura em que a fase líquida está estável.

11)

